

MN1-004US

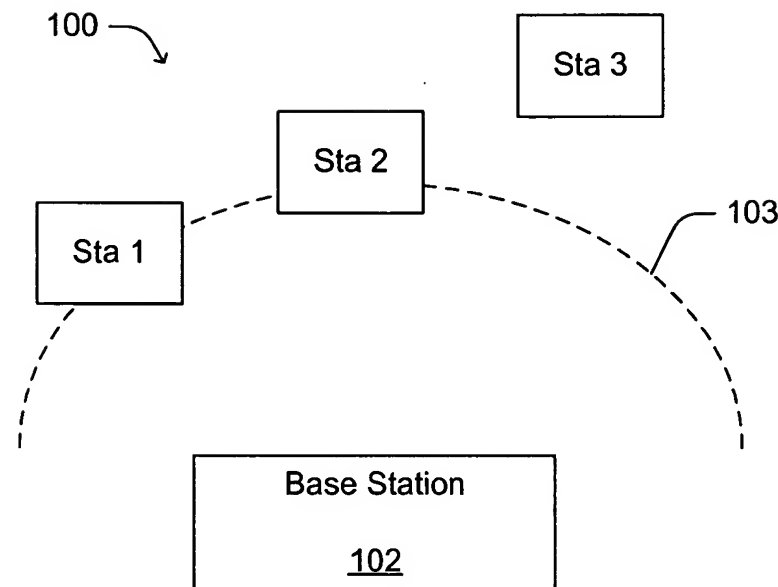


Fig. 1 (Prior Art)

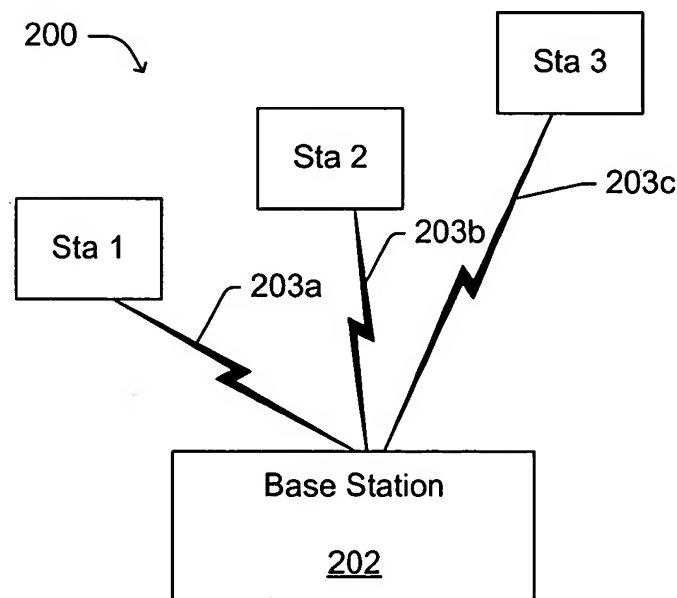


Fig. 2

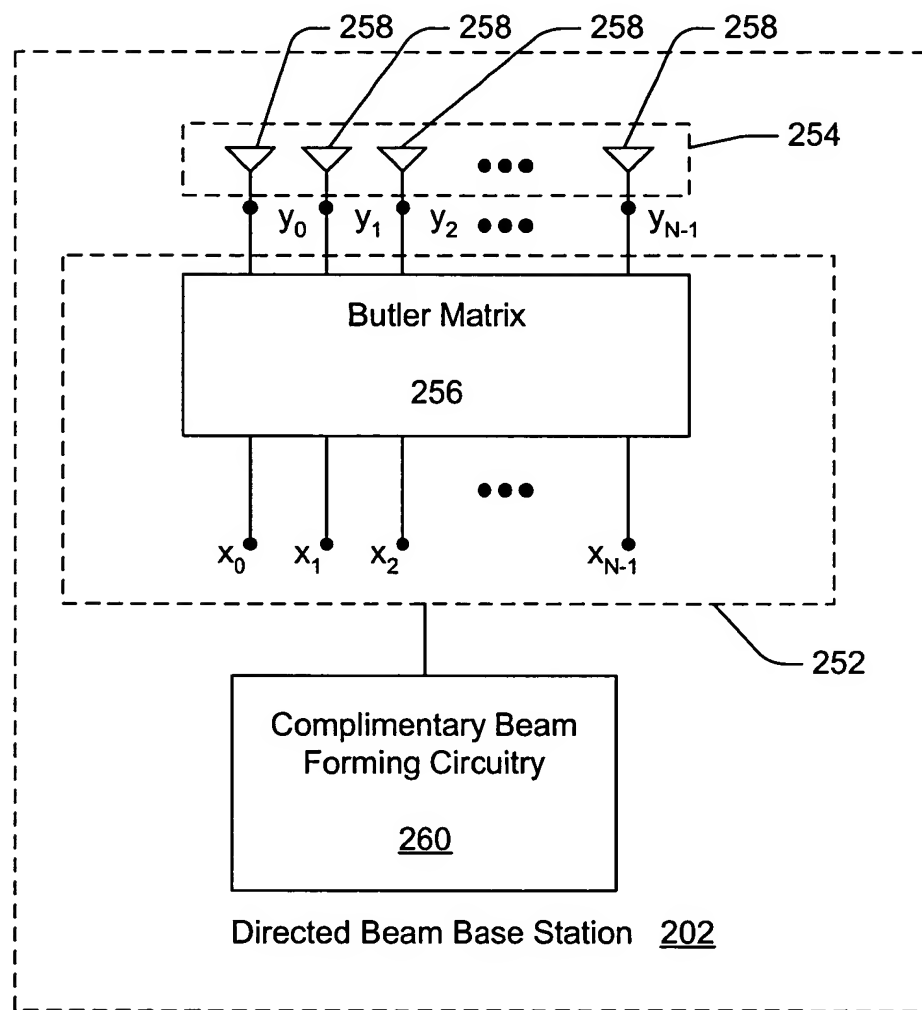
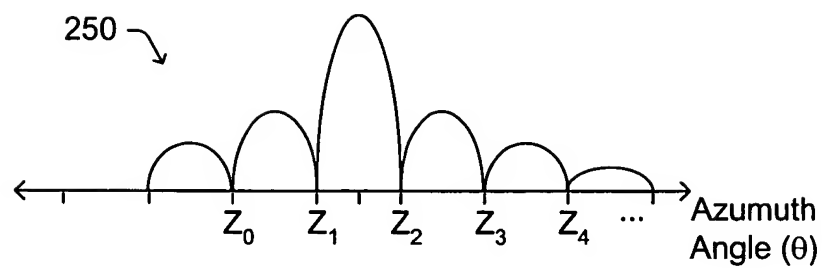


Fig. 3

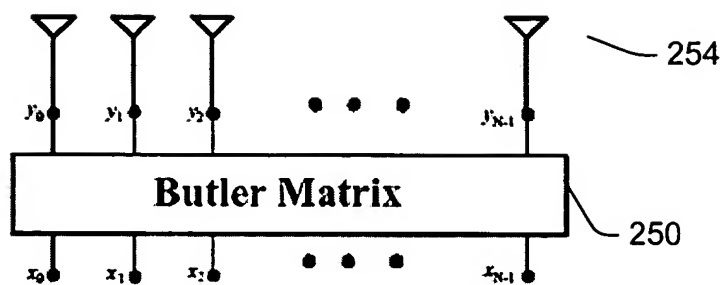


Fig. 4  
(Prior Art)

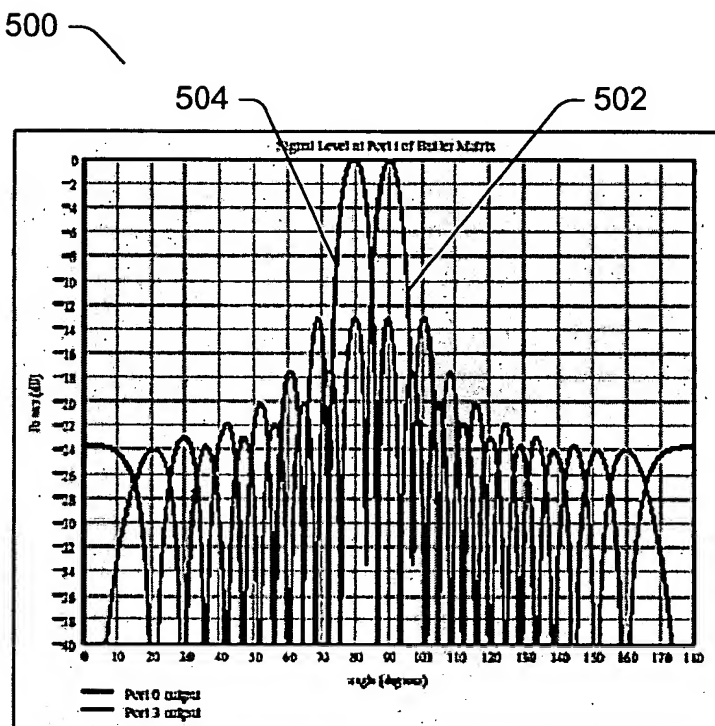


Fig. 5  
(Prior Art)

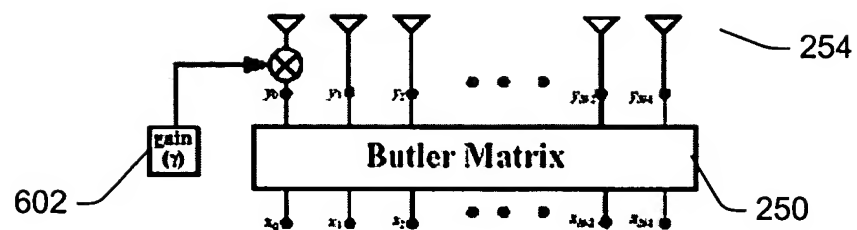


Fig. 6

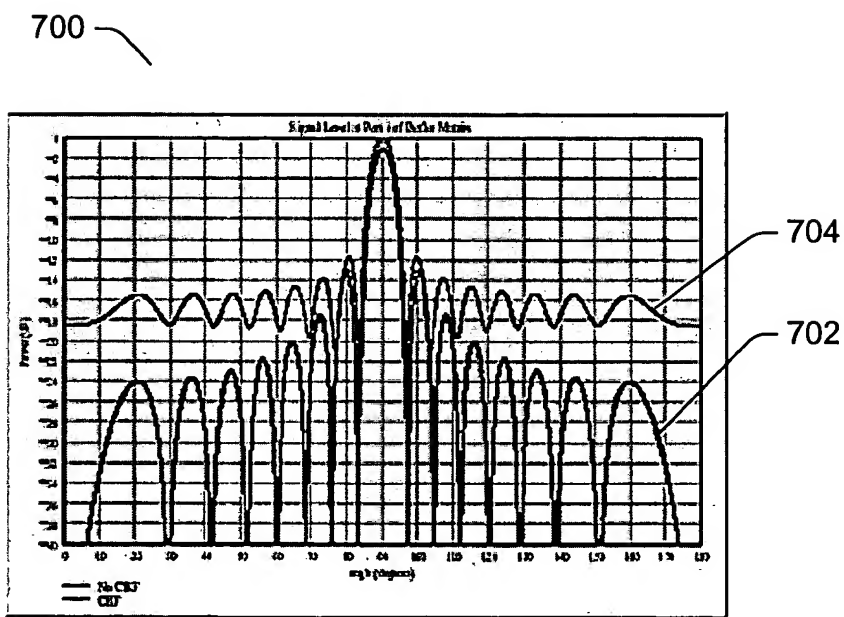


Fig. 7

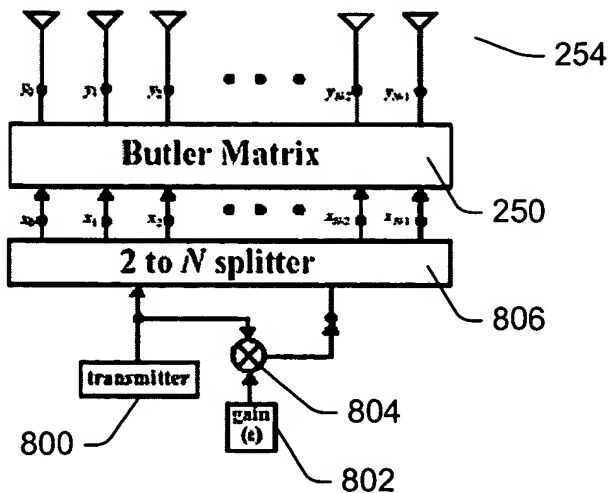


Fig. 8

900

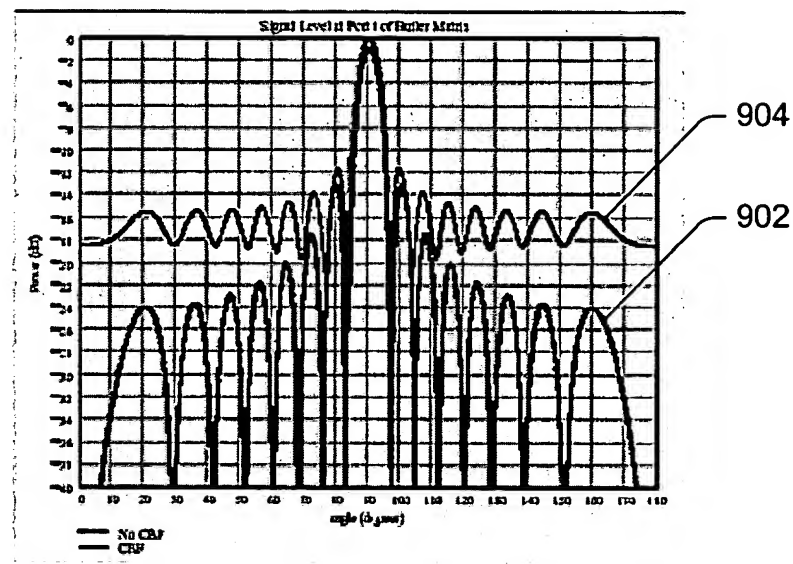


Fig. 9

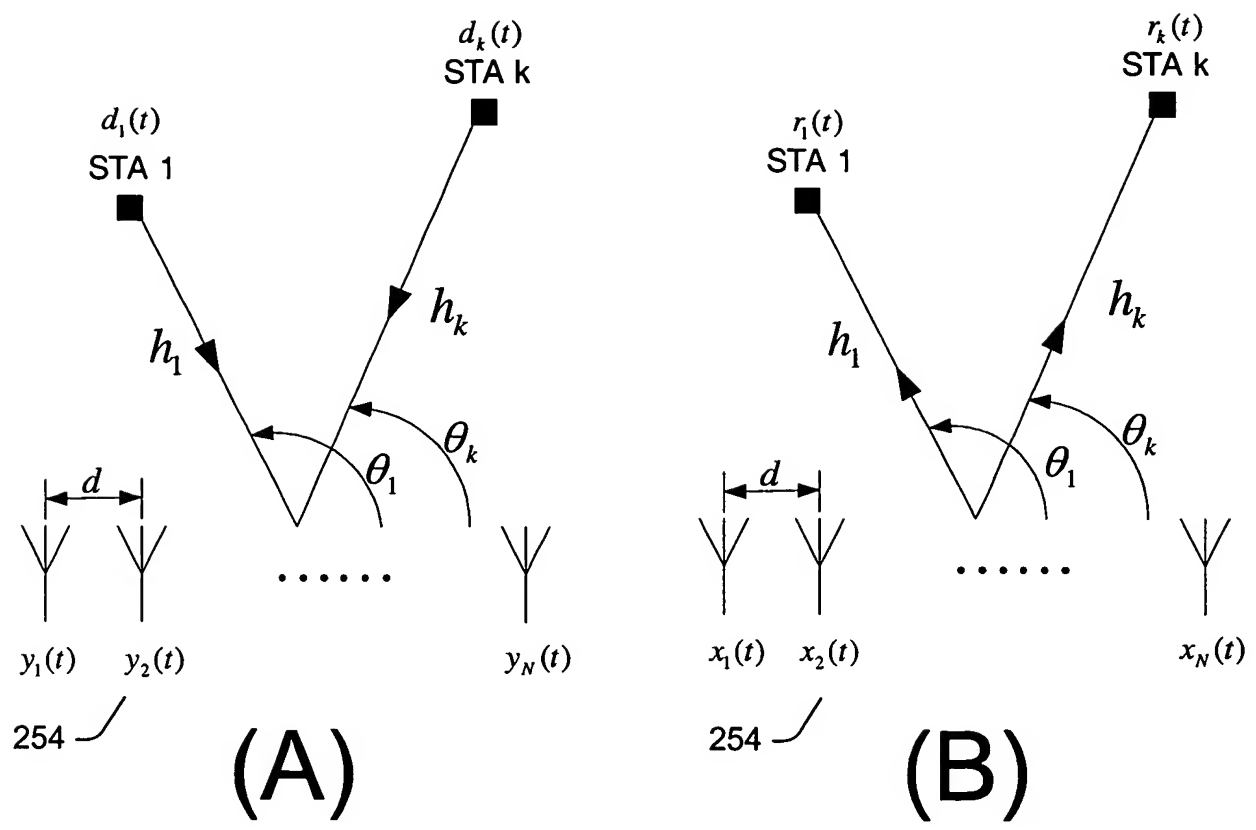


Fig. 10

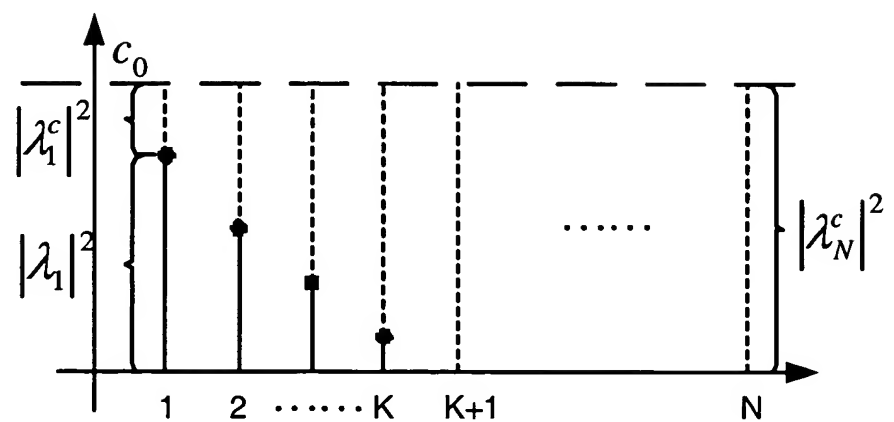
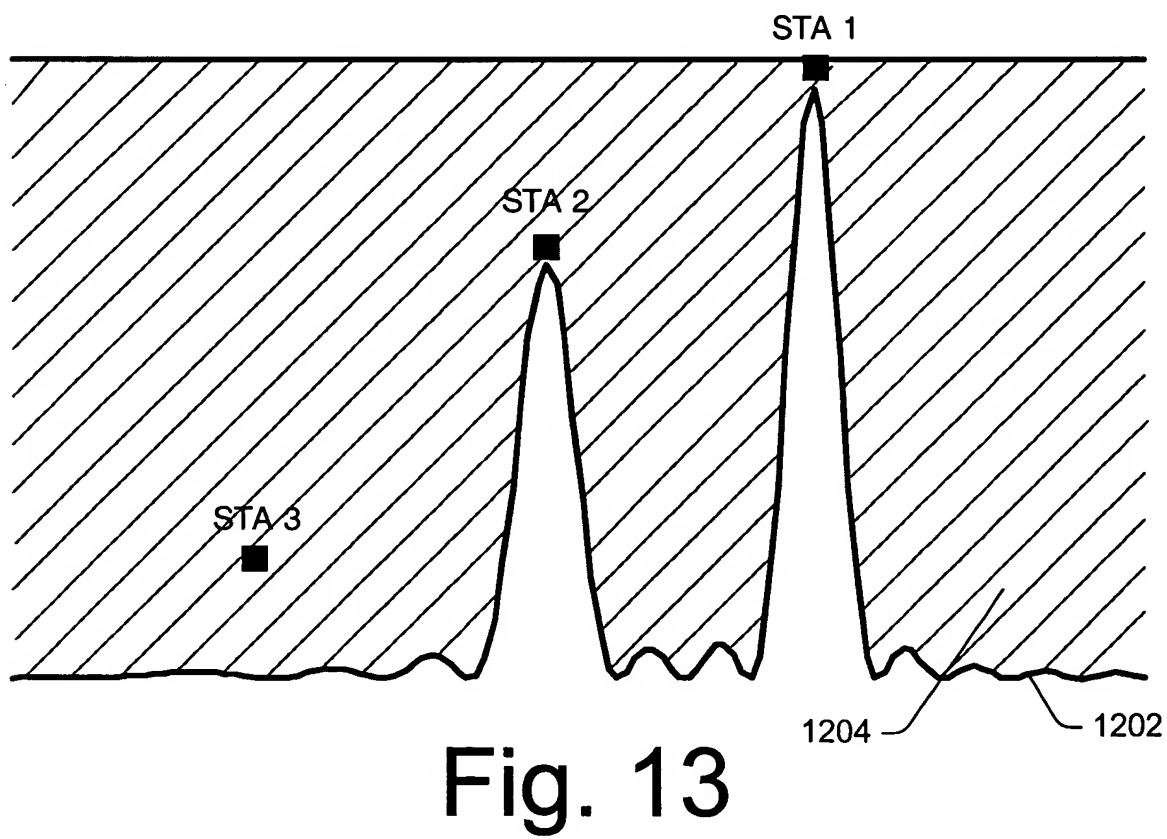
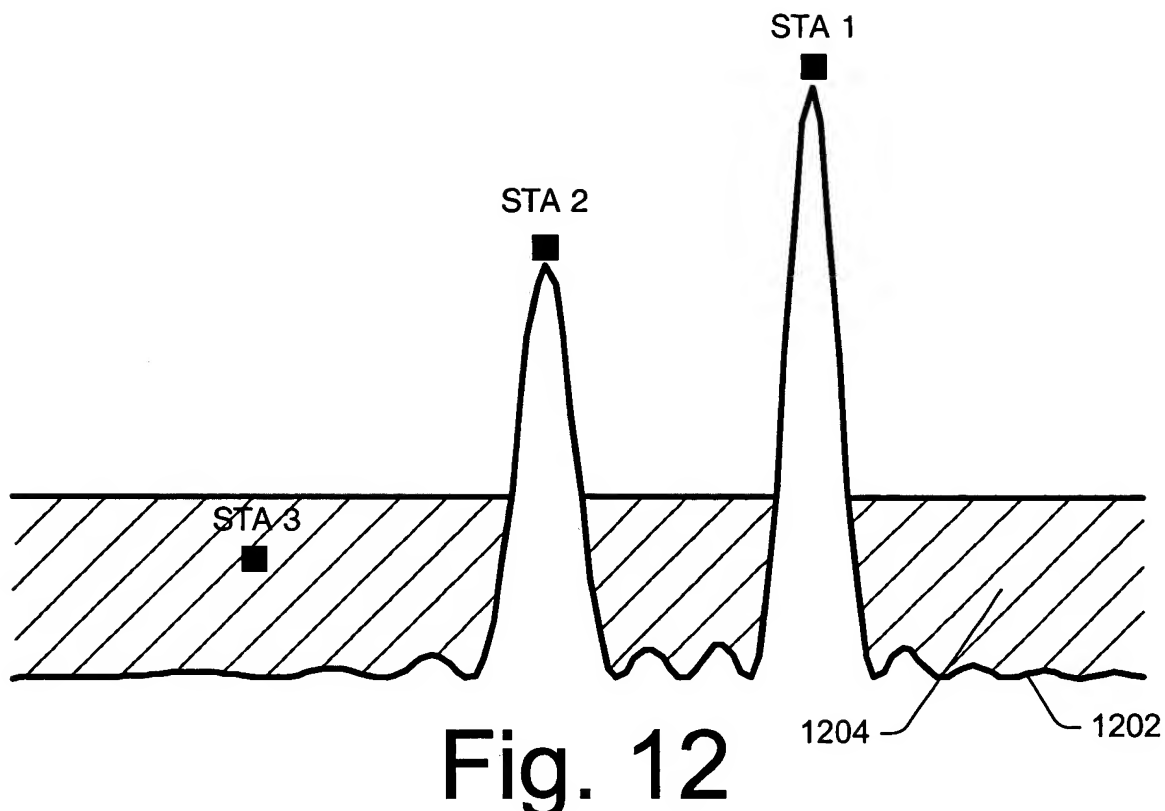


Fig. 11

MN1-004US



MN1-004US

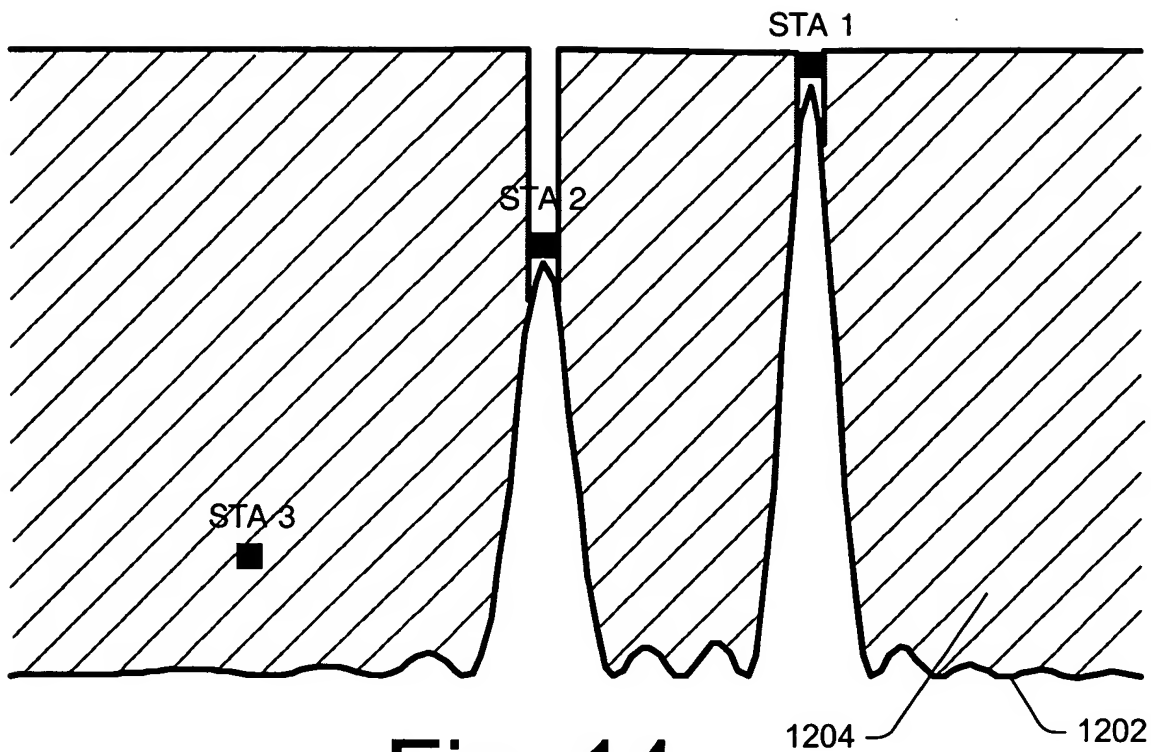


Fig. 14

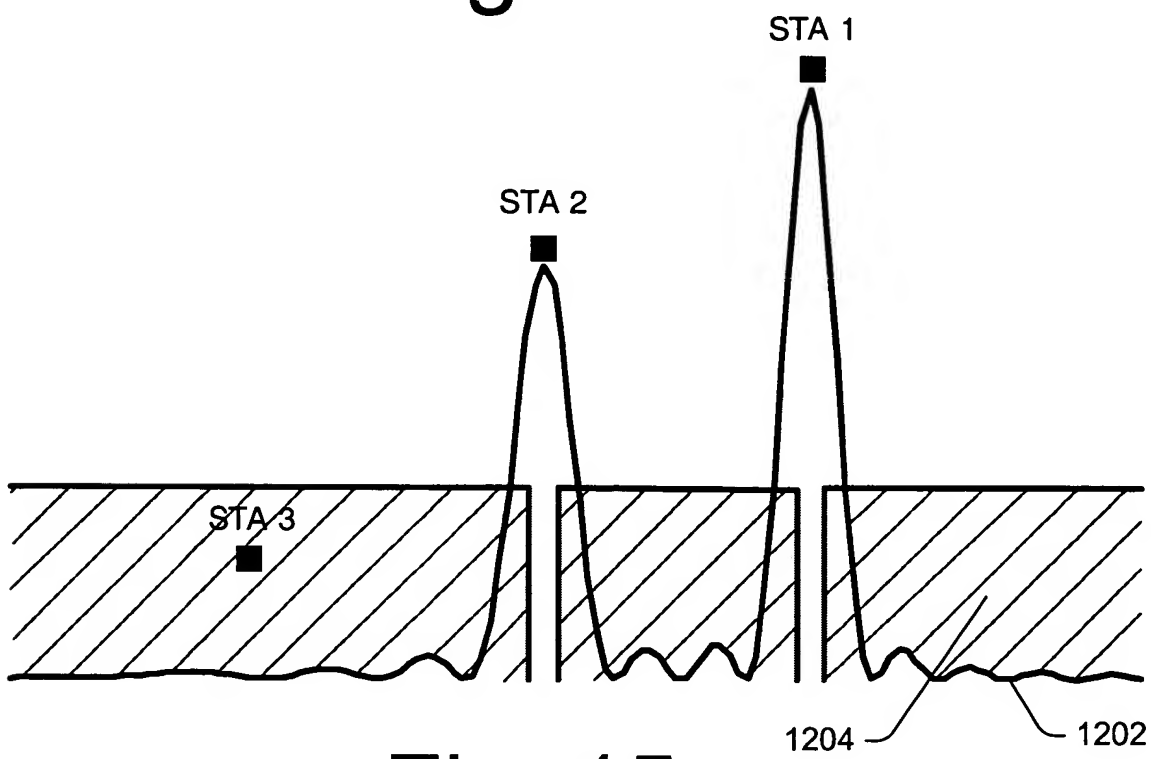


Fig. 15

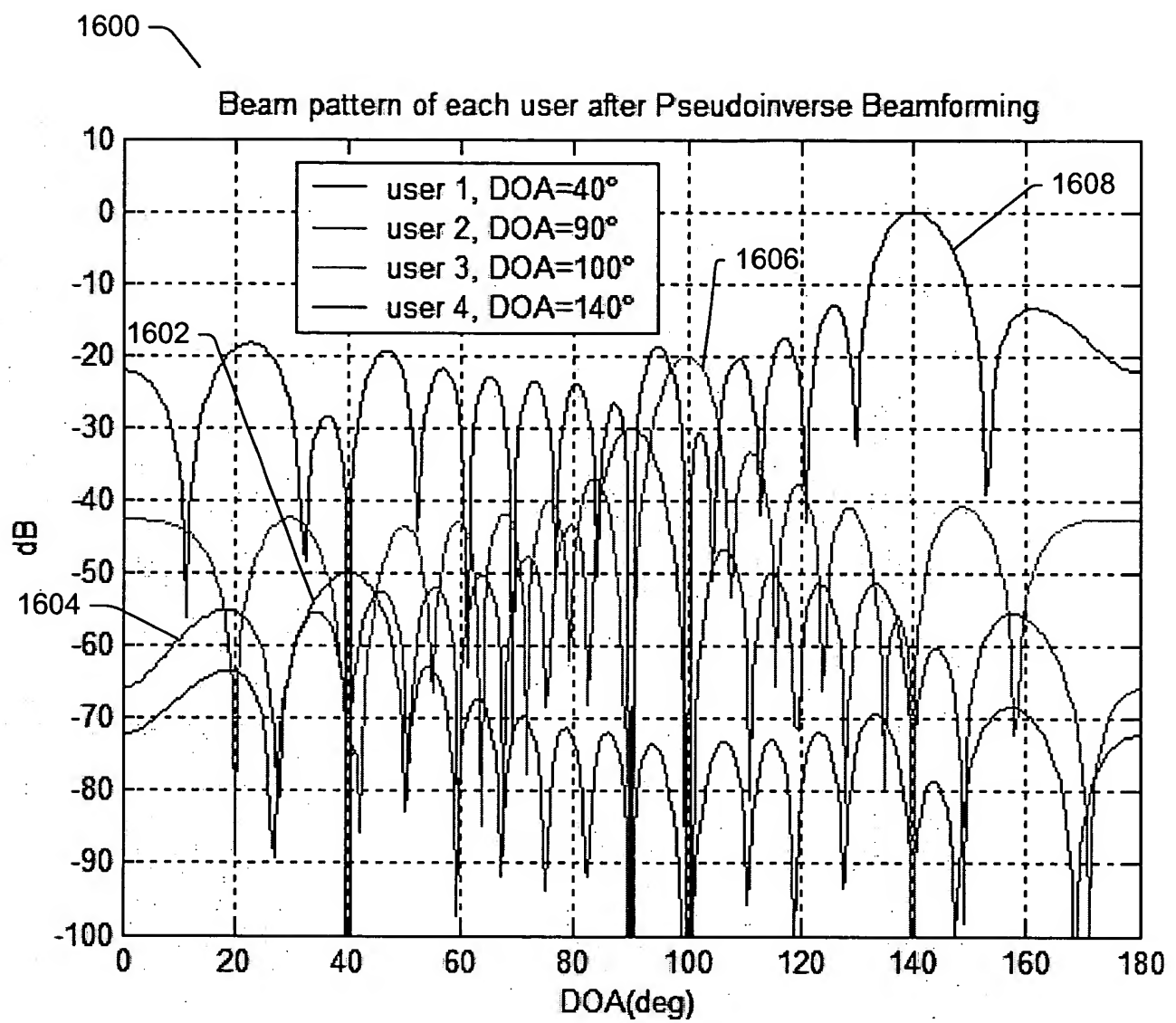


Fig. 16

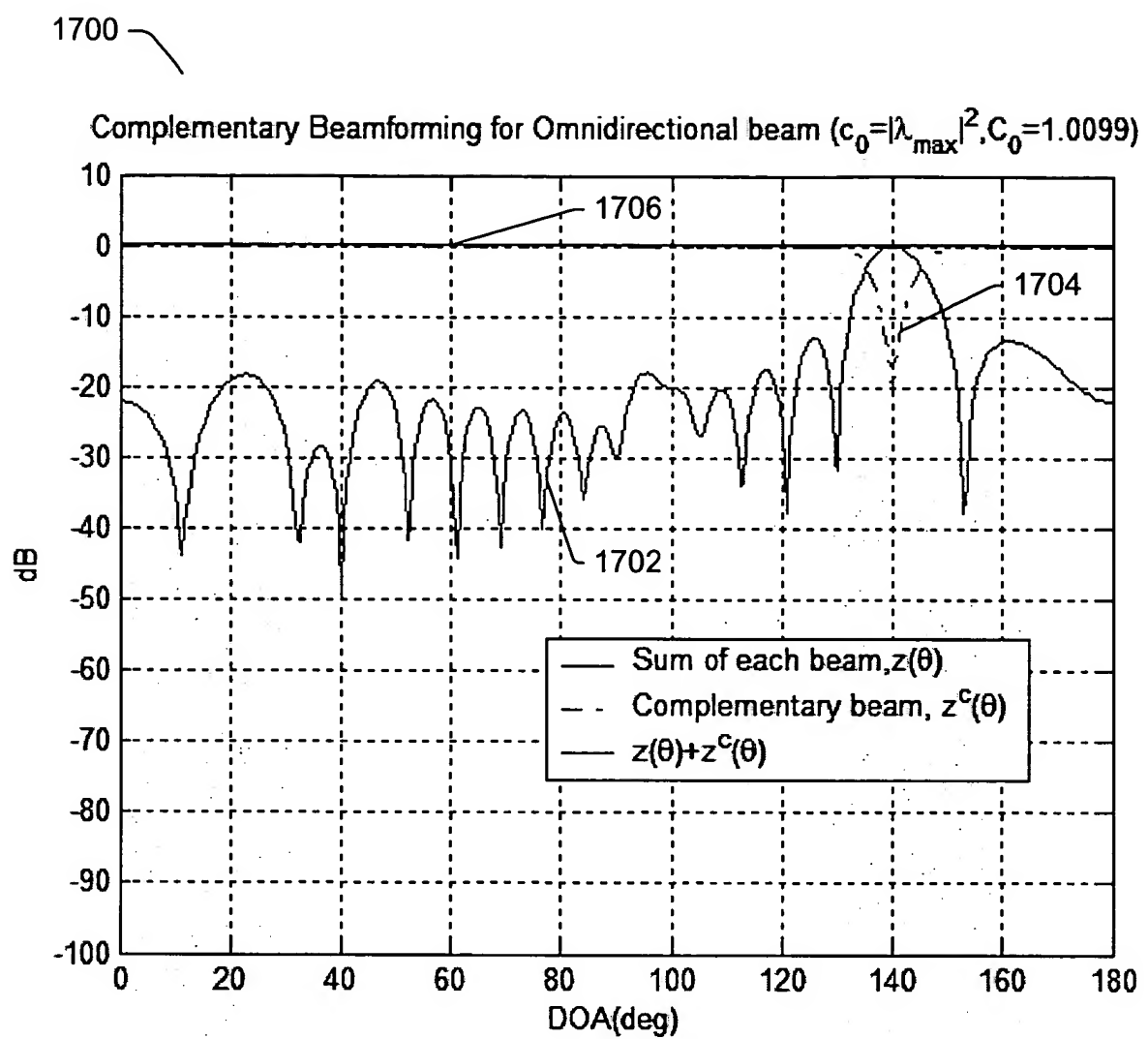


Fig. 17

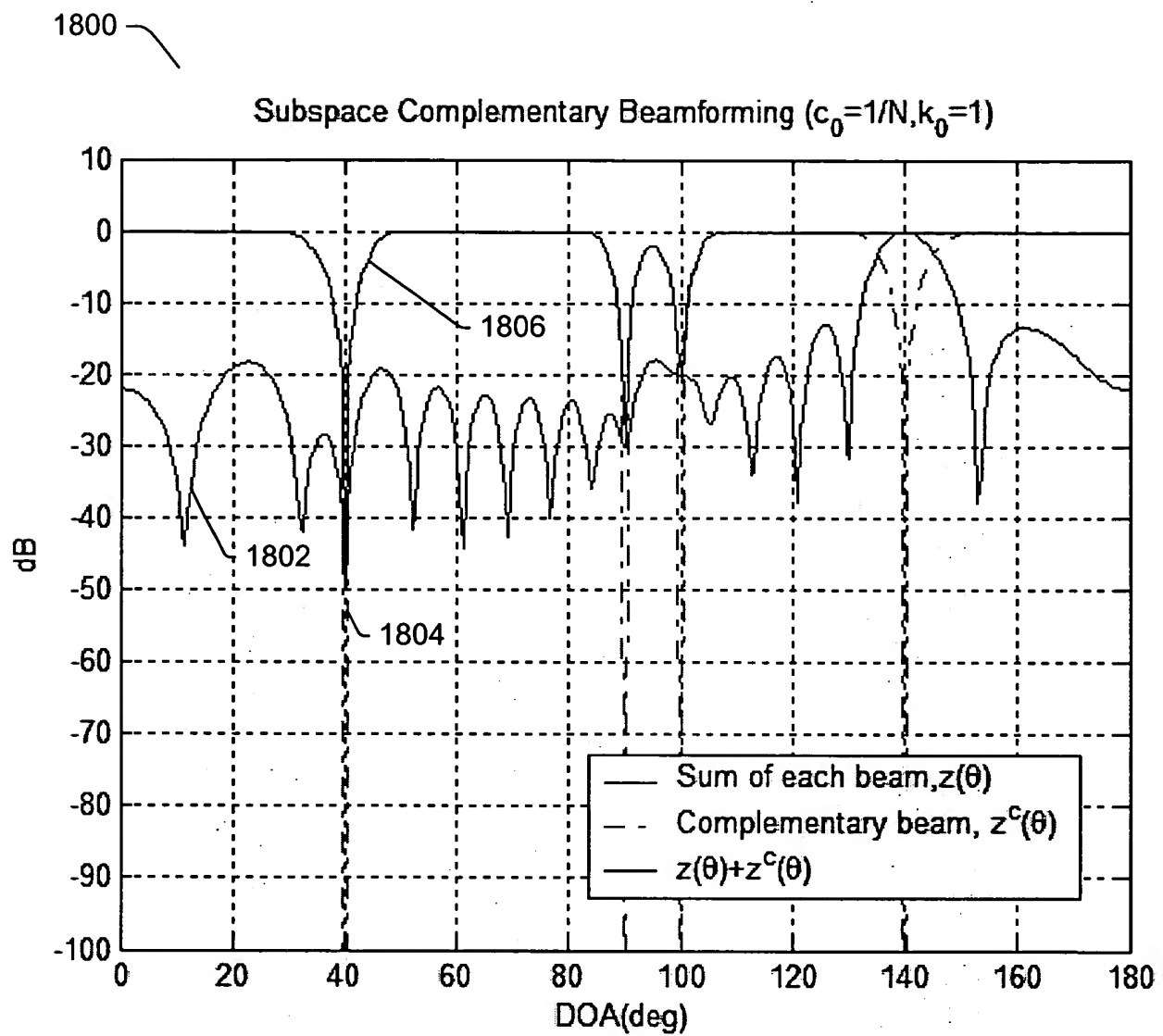


Fig. 18

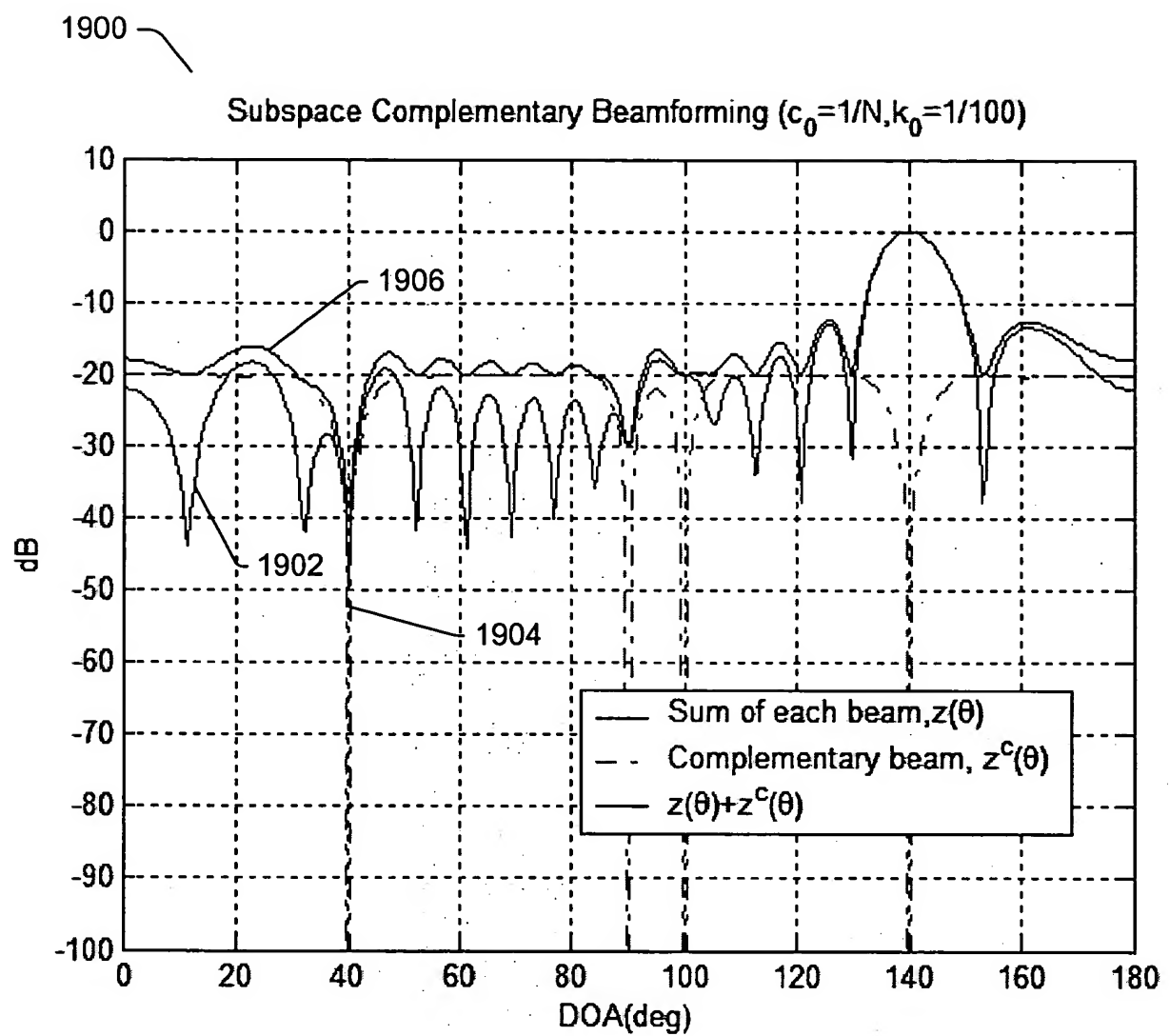


Fig. 19

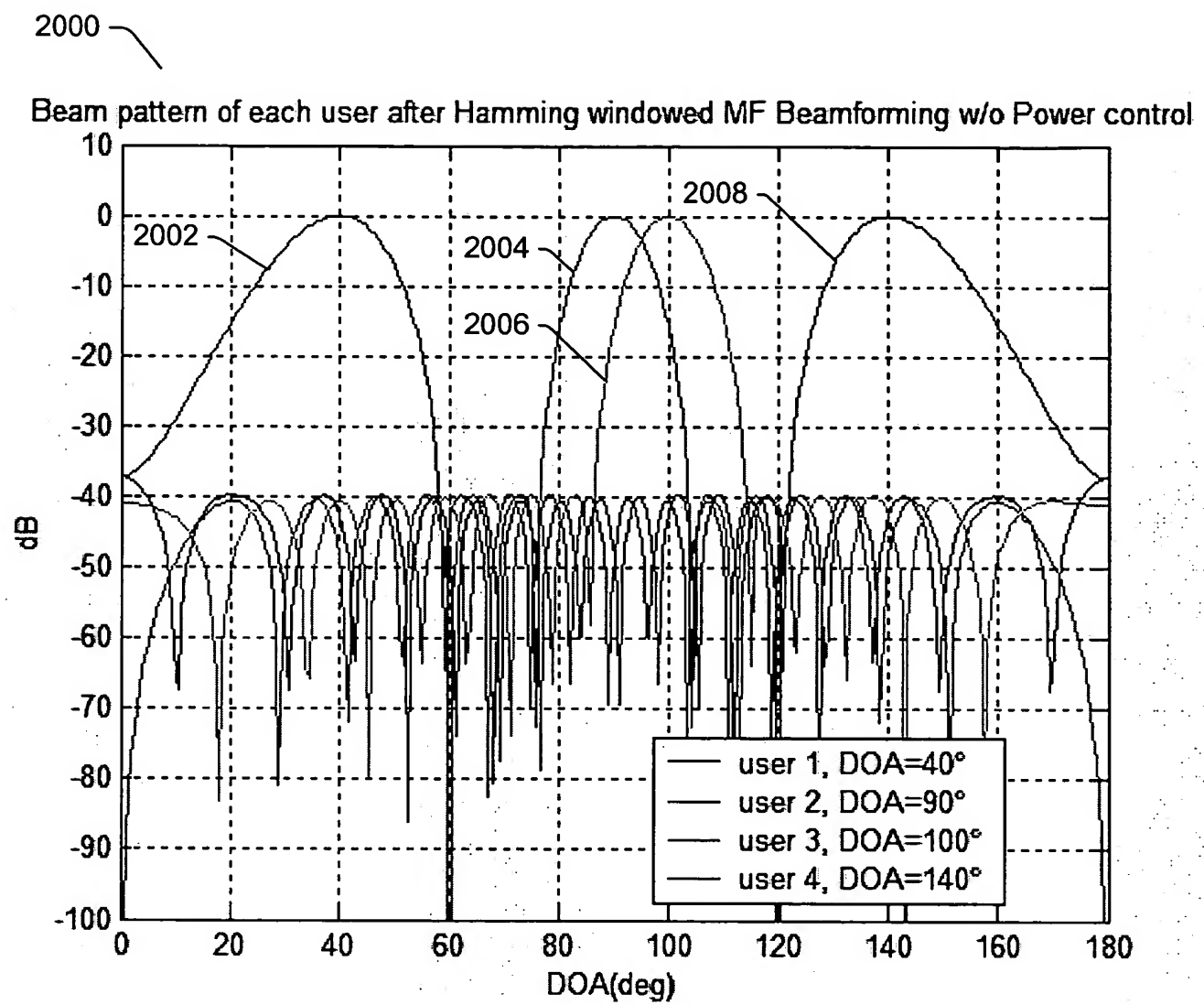


Fig. 20

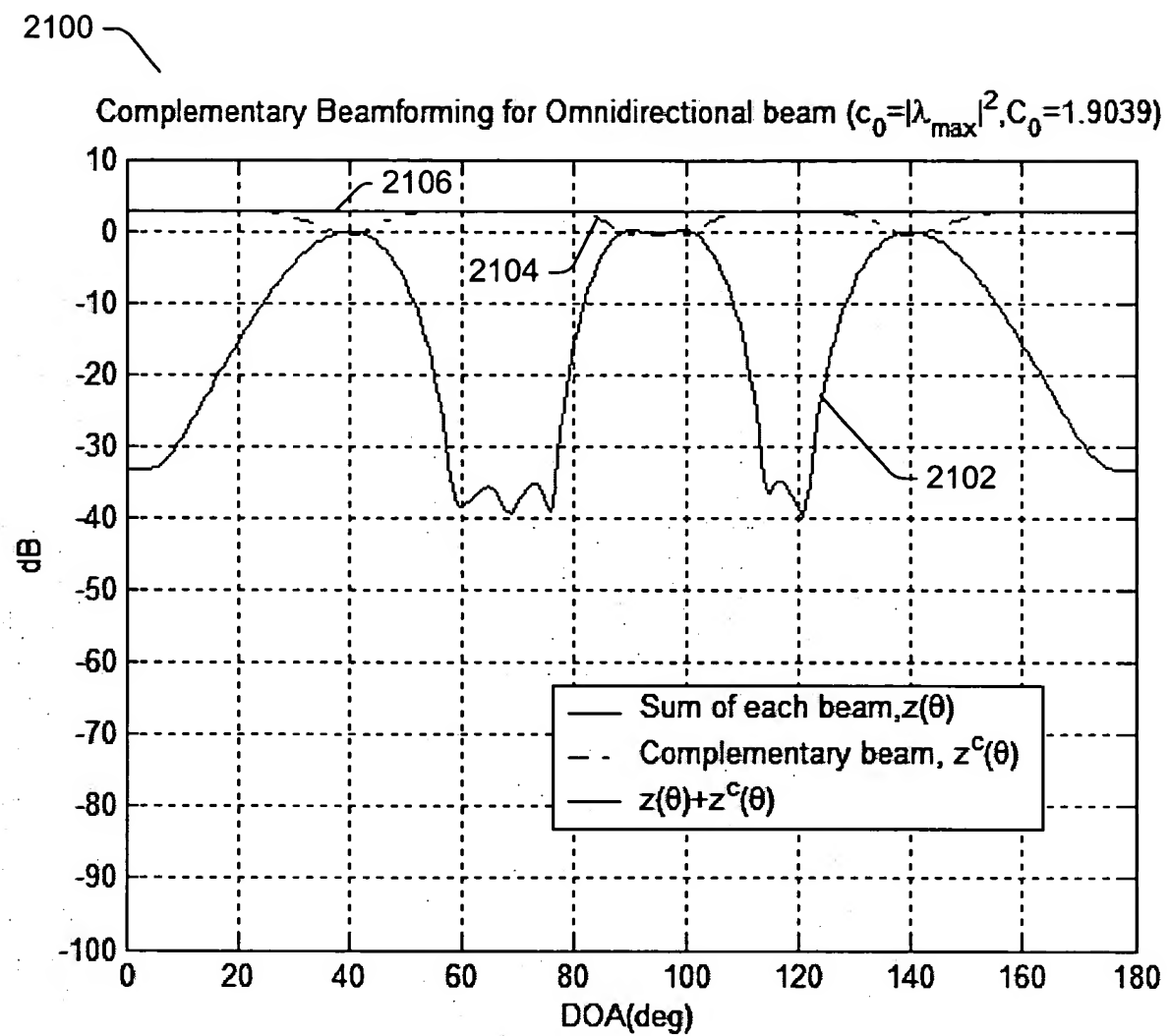


Fig. 21

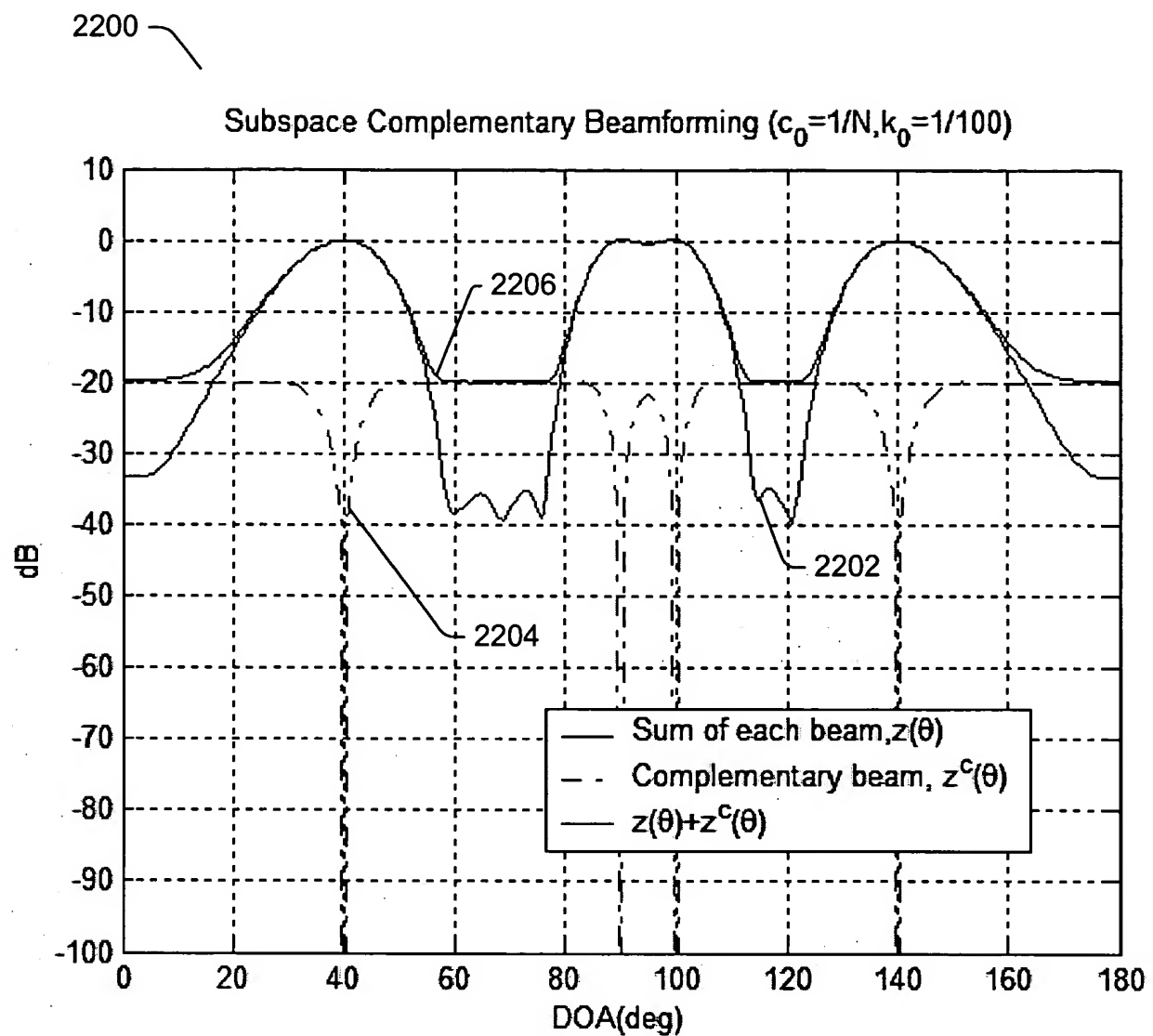


Fig. 22

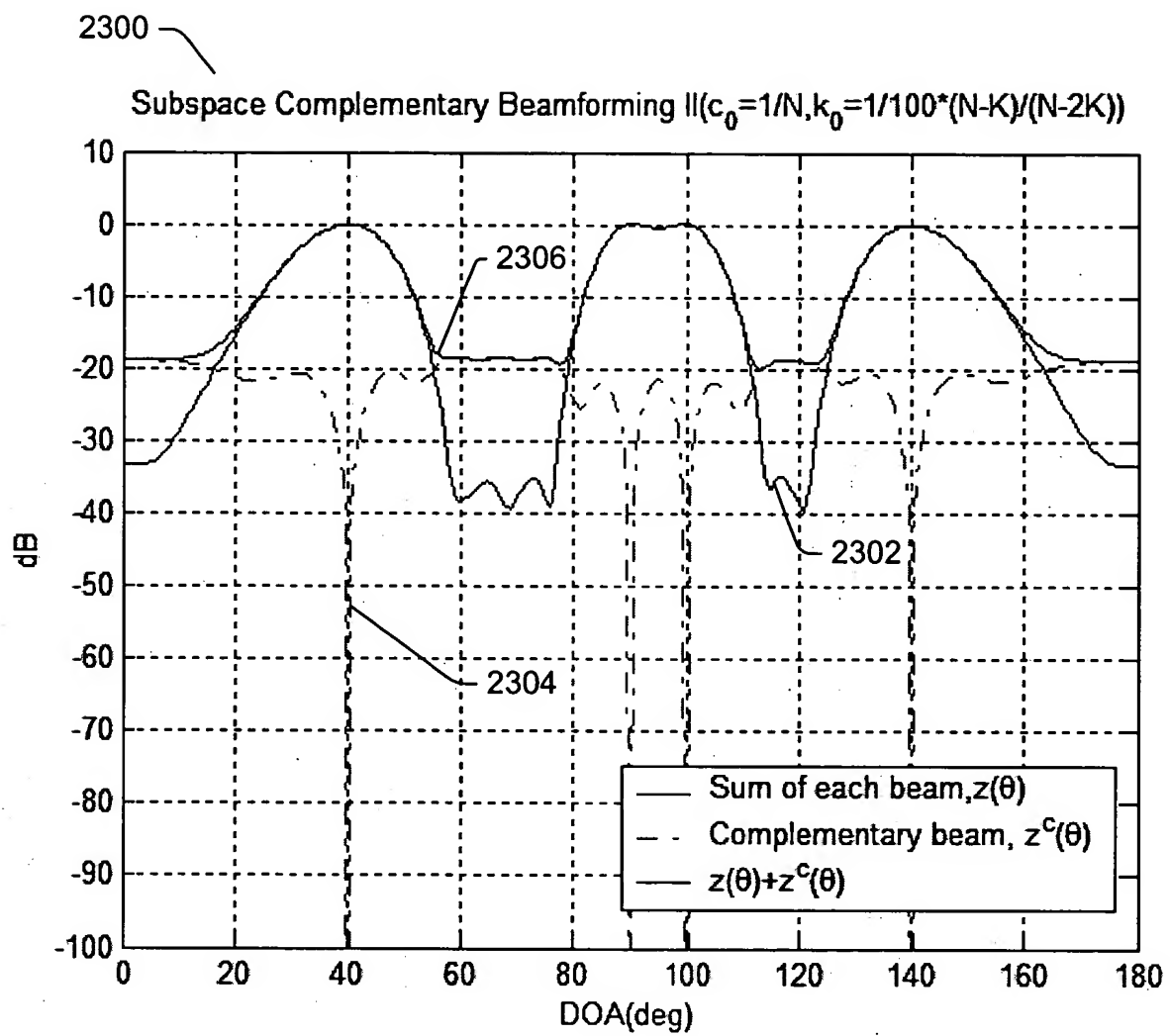


Fig. 23

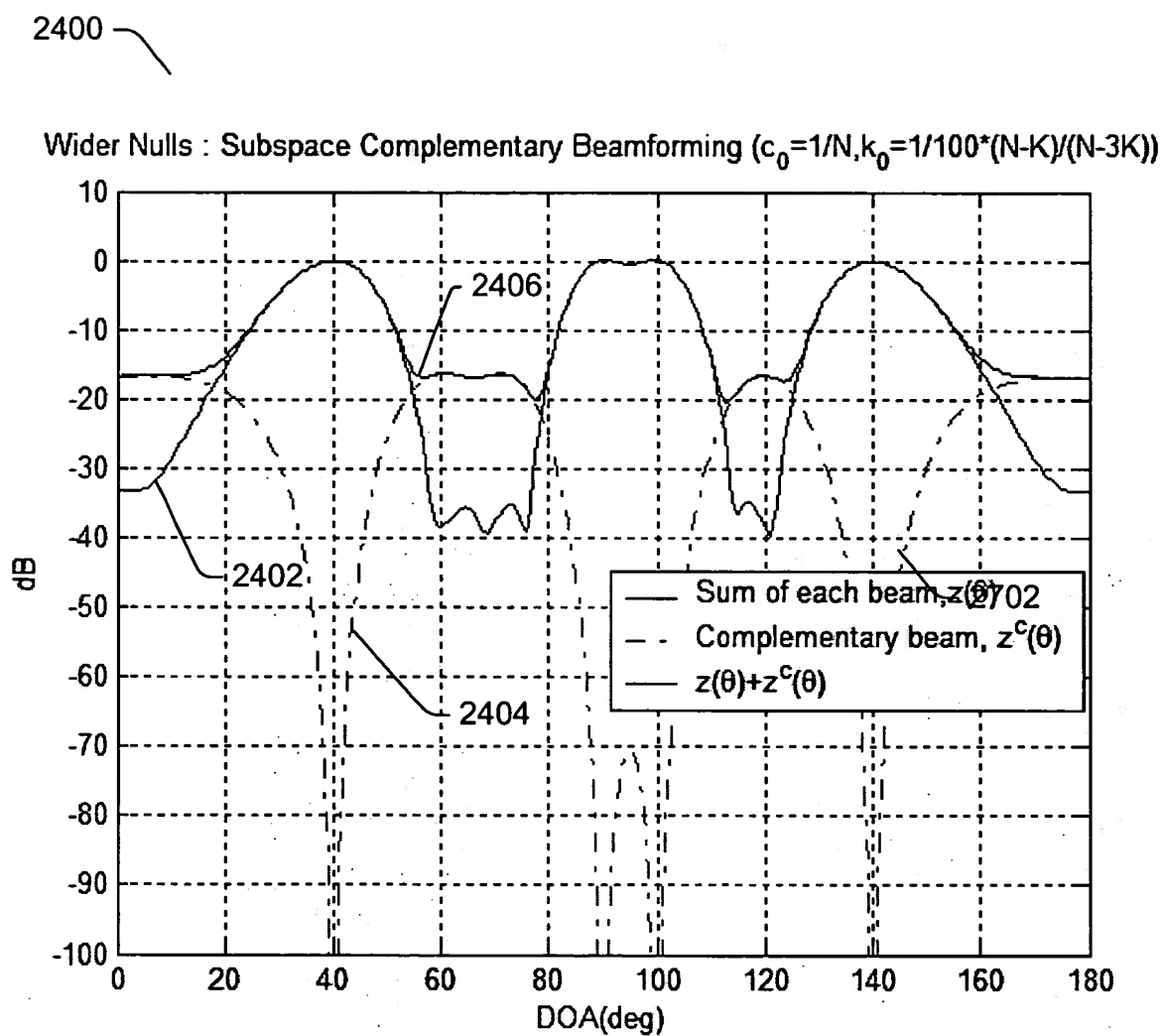


Fig. 24

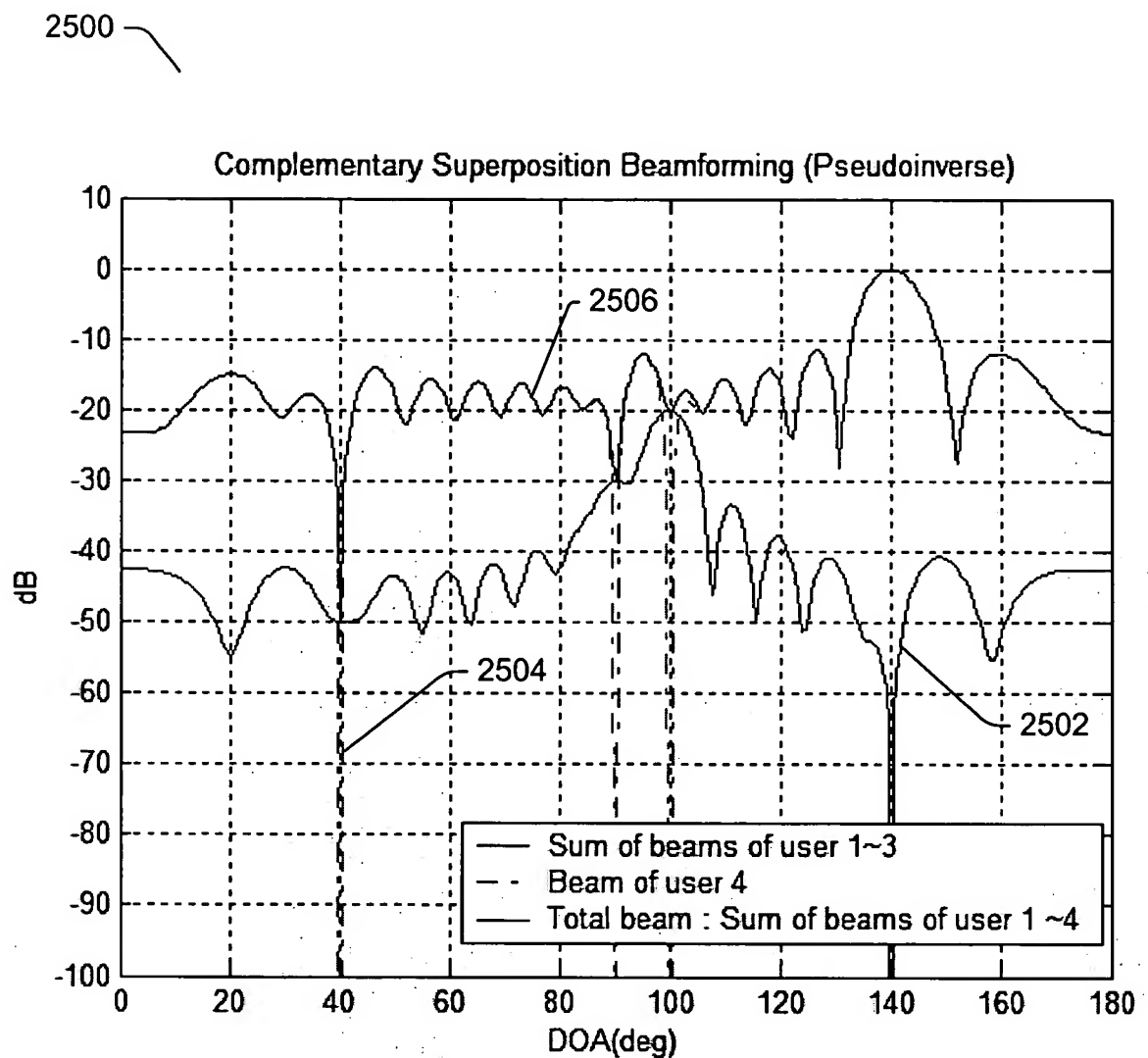


Fig. 25

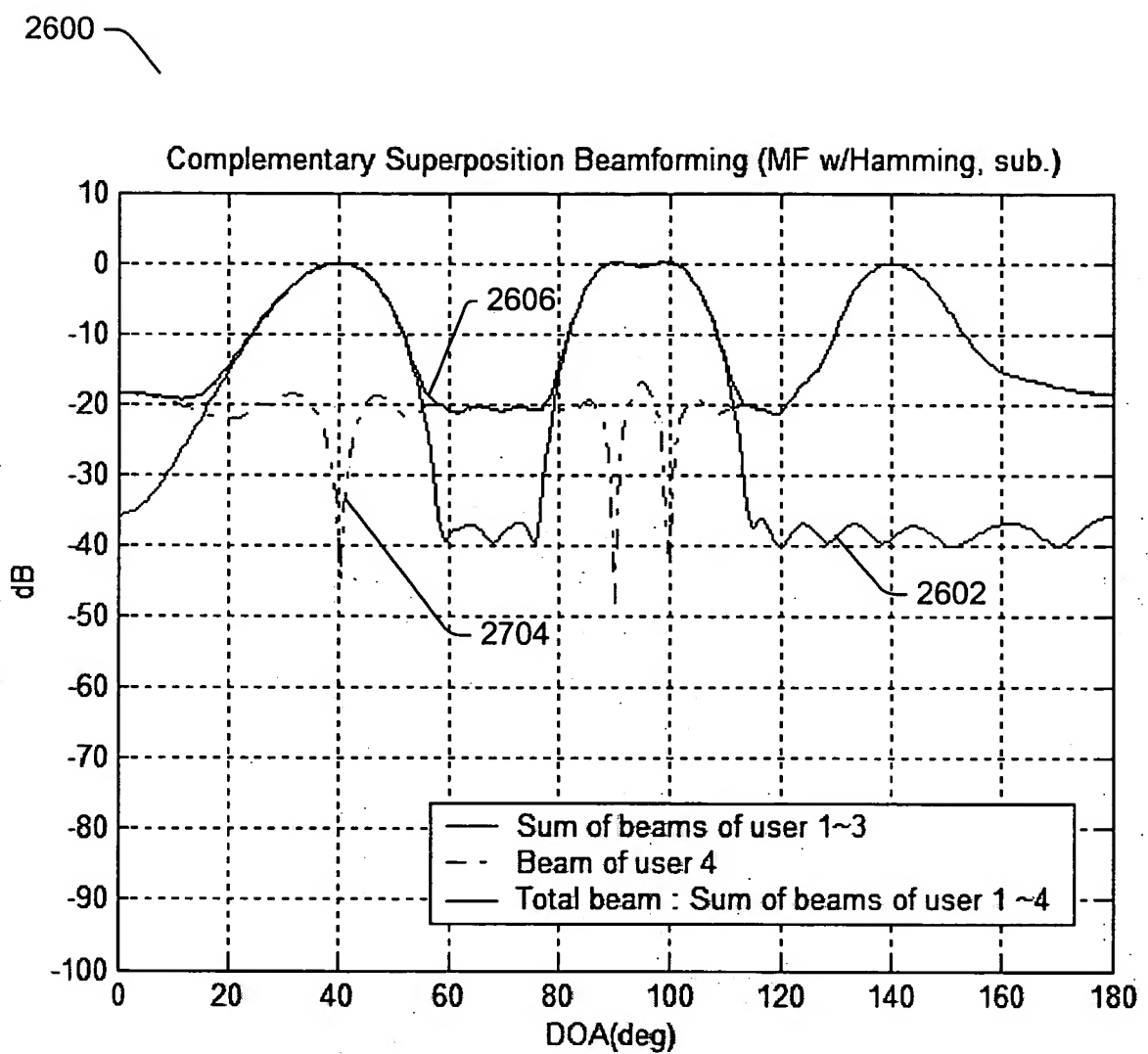


Fig. 26

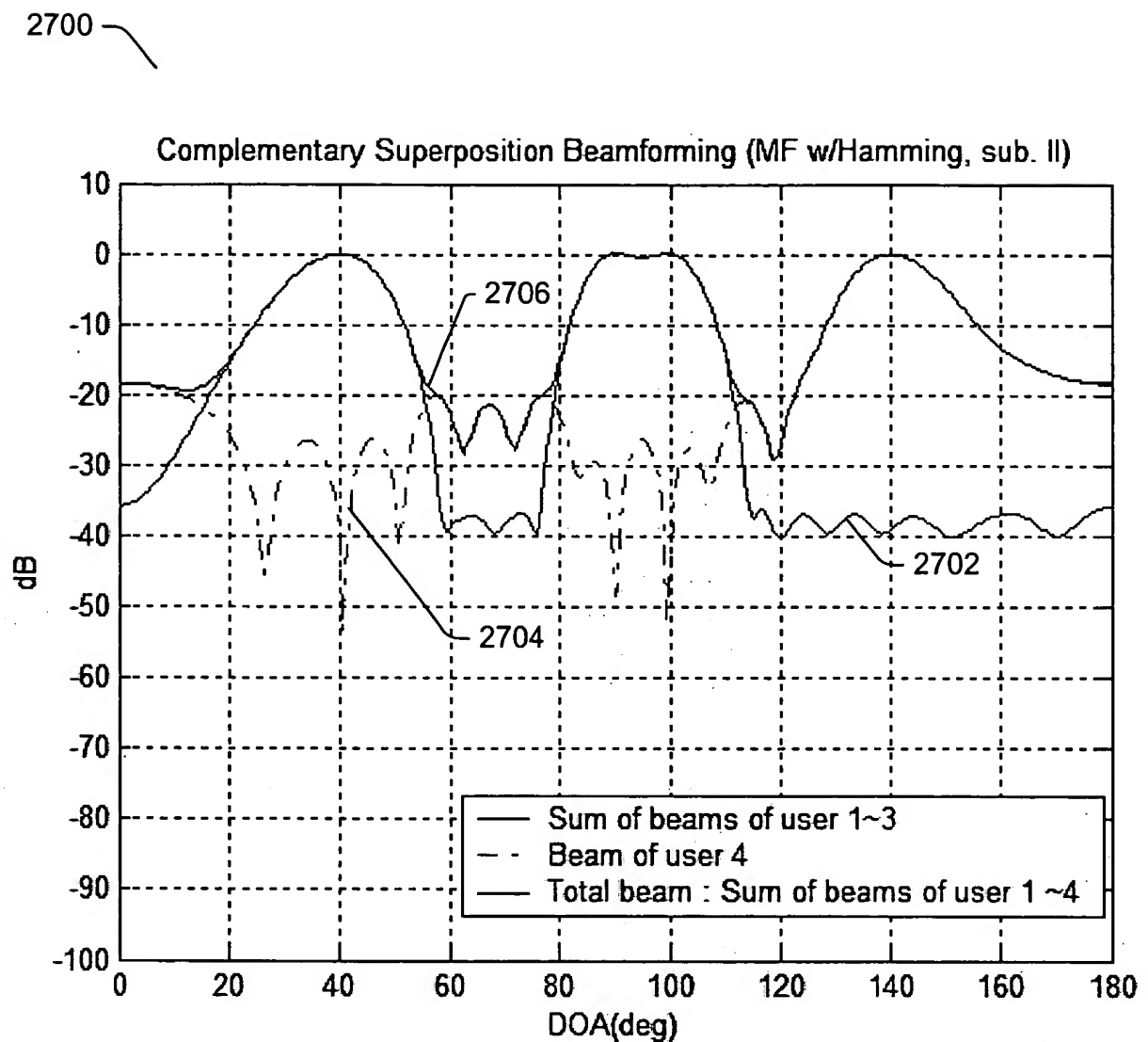


Fig. 27

2800

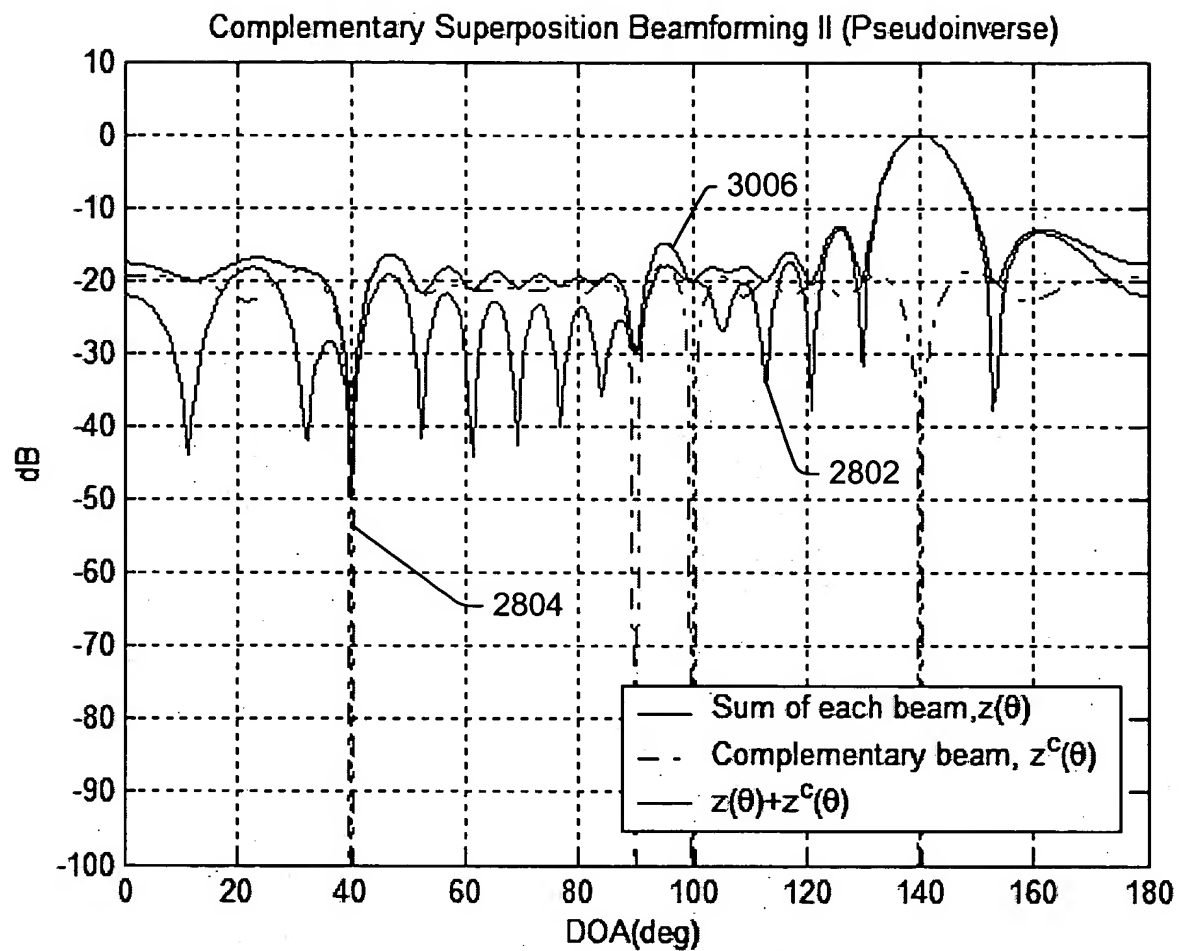


Fig. 28

2900

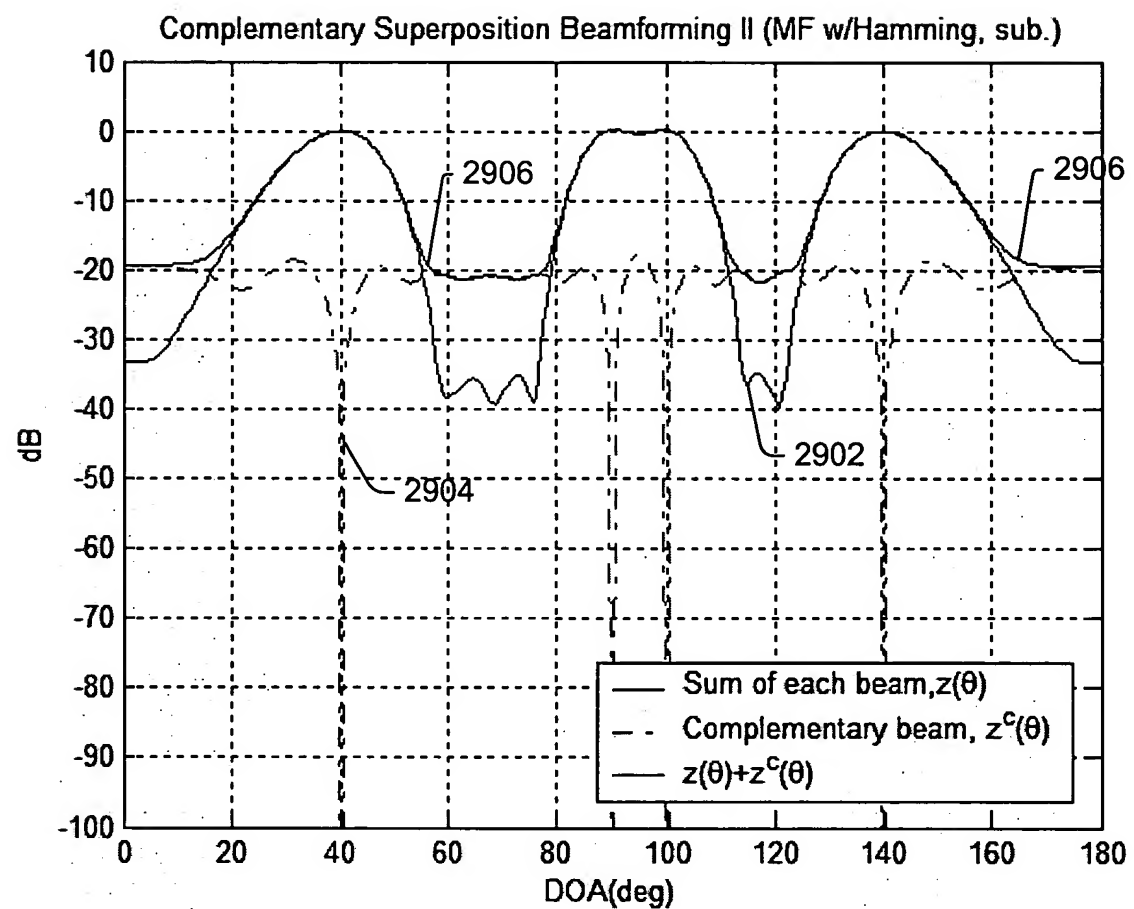


Fig. 29

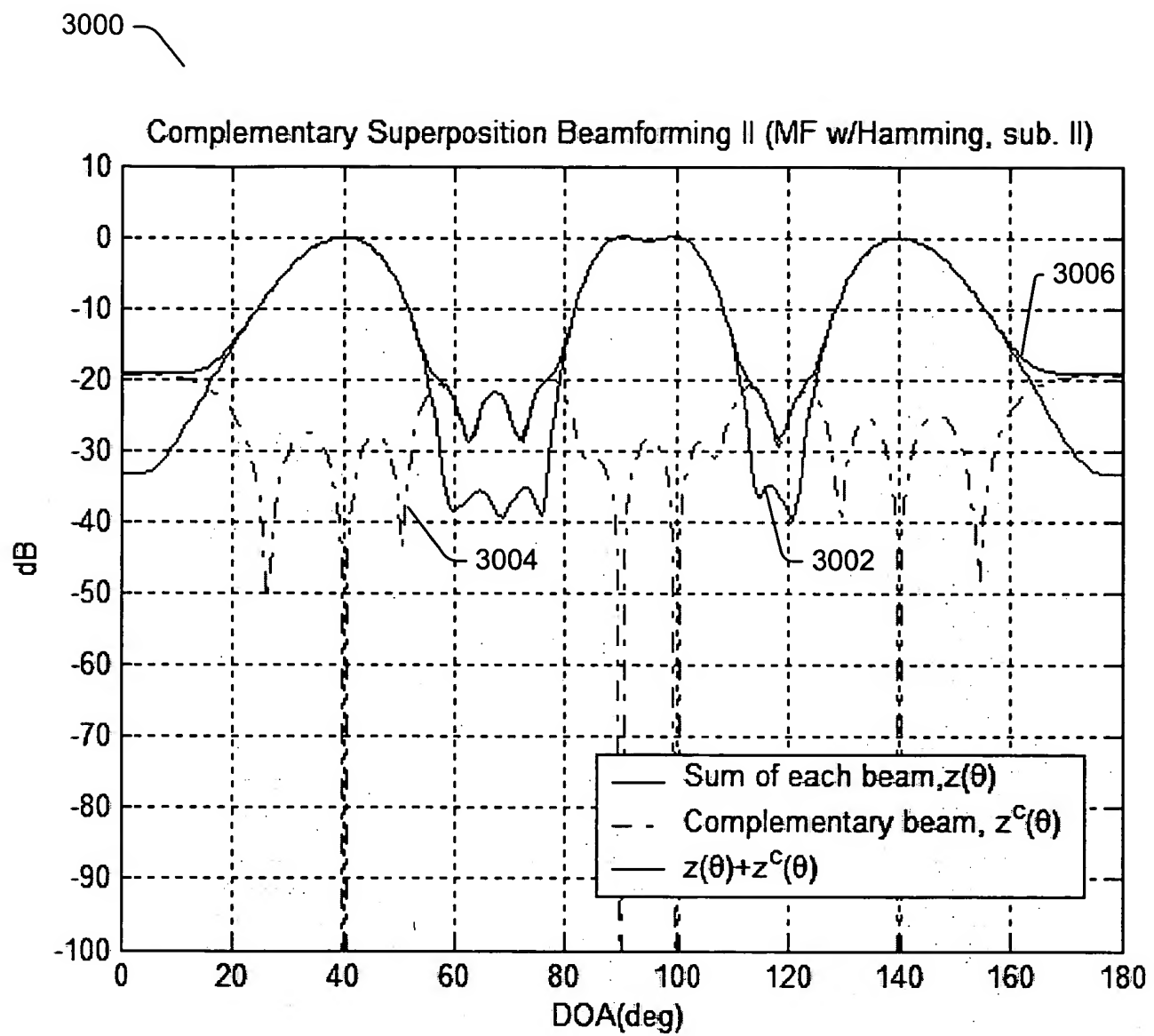


Fig. 30

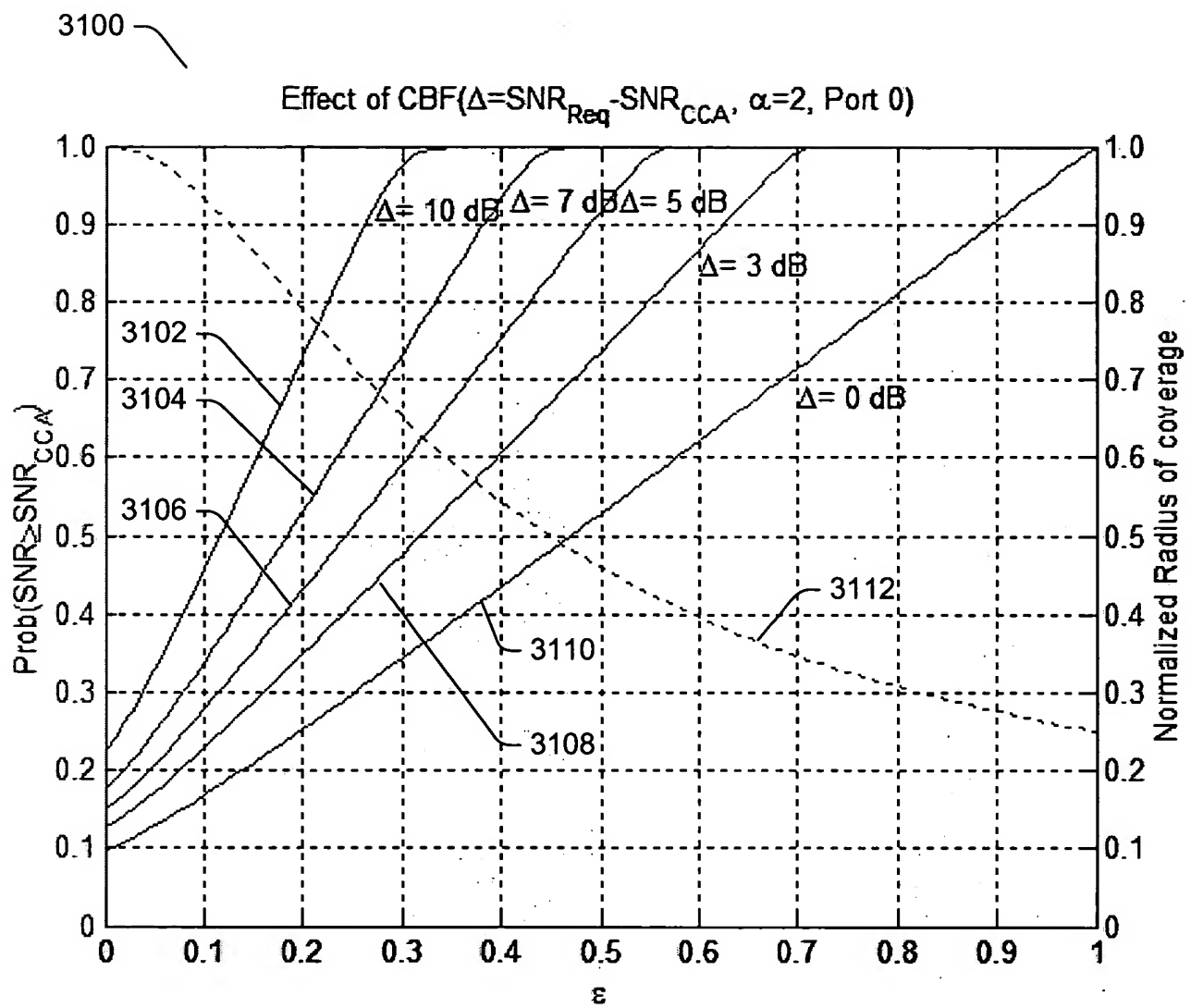


Fig. 31

3200

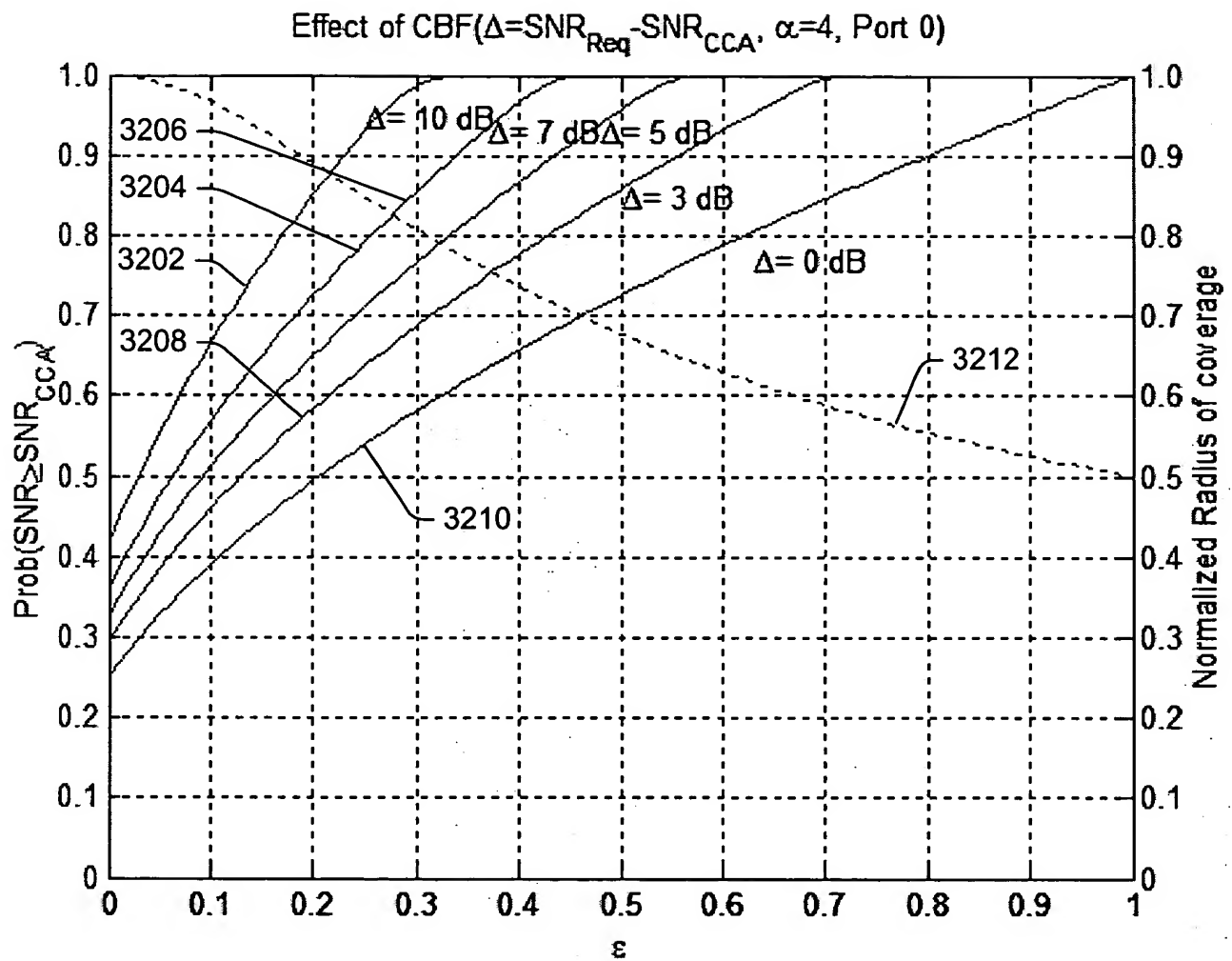


Fig. 32

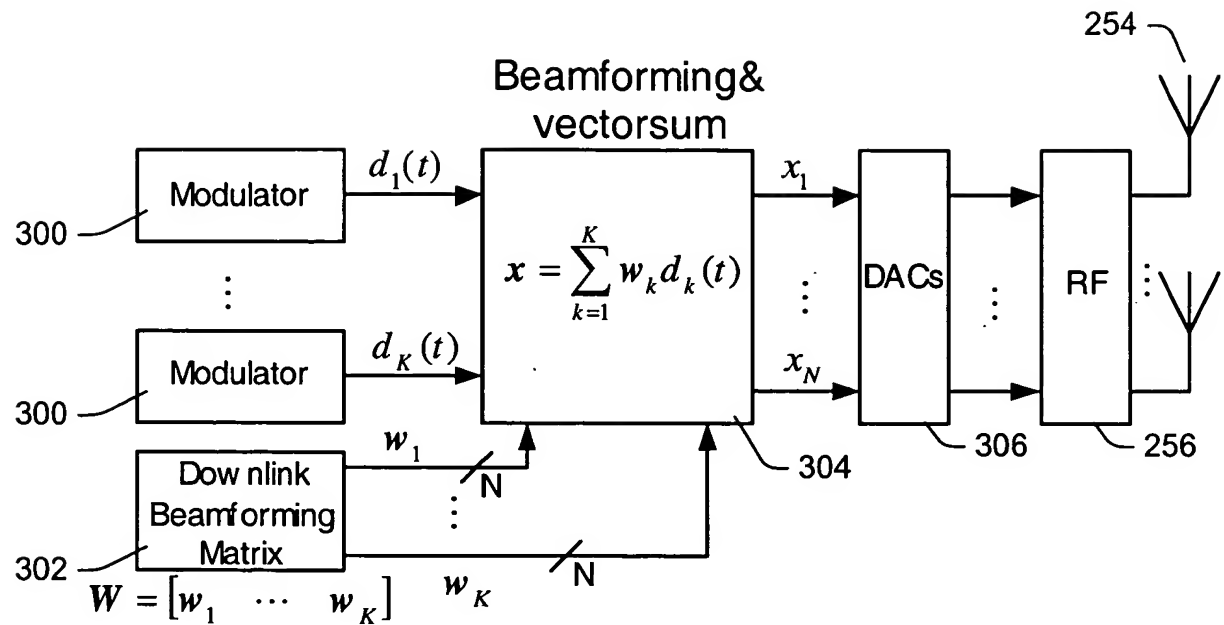


Fig. 33

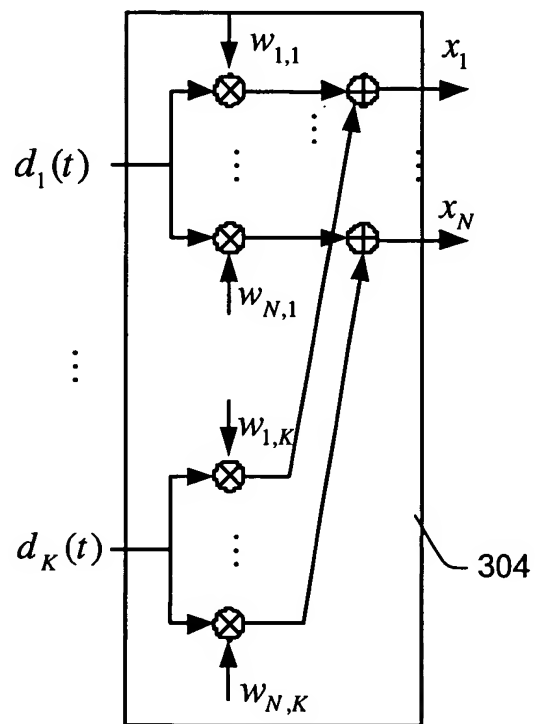


Fig. 34

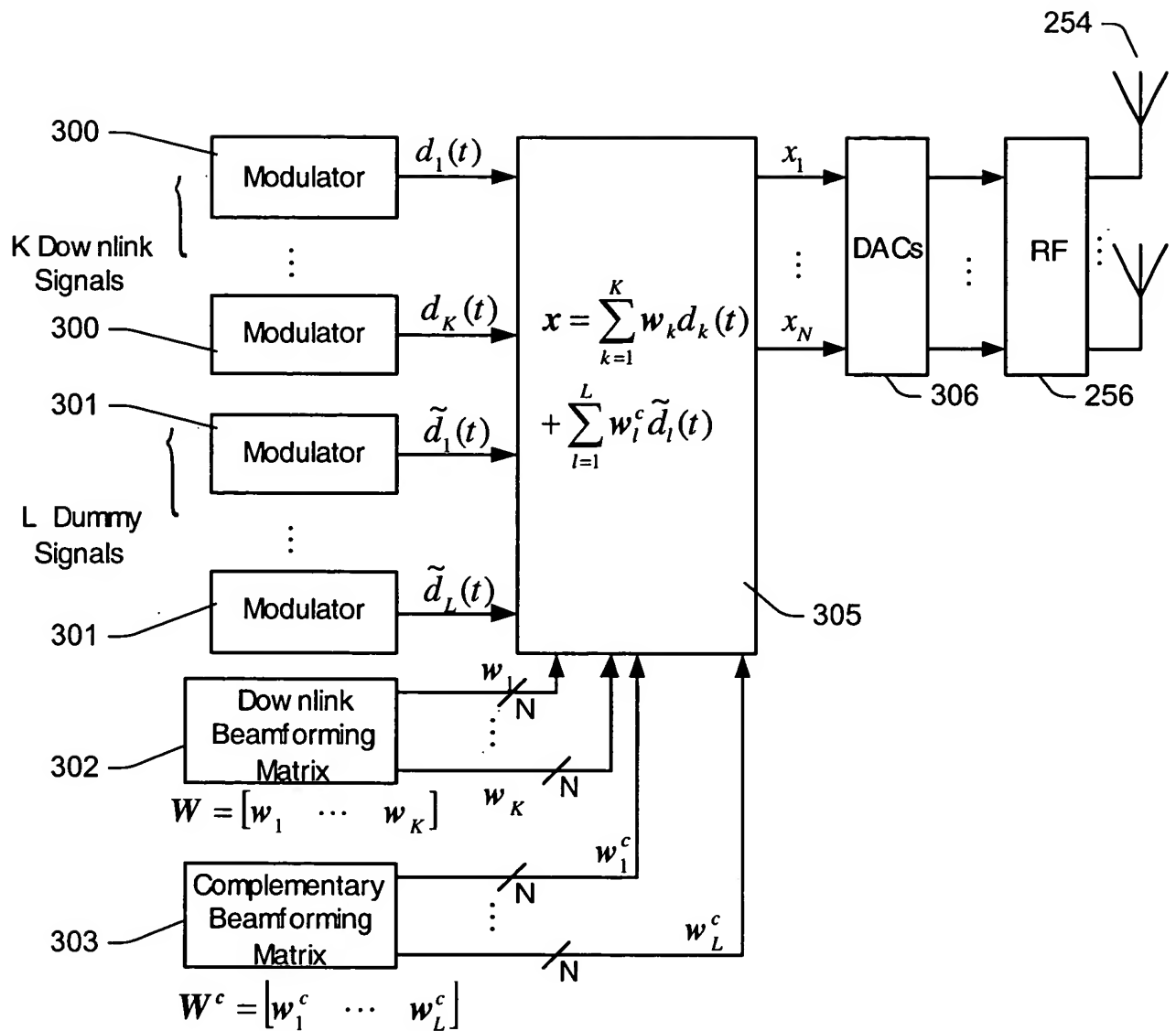


Fig. 35

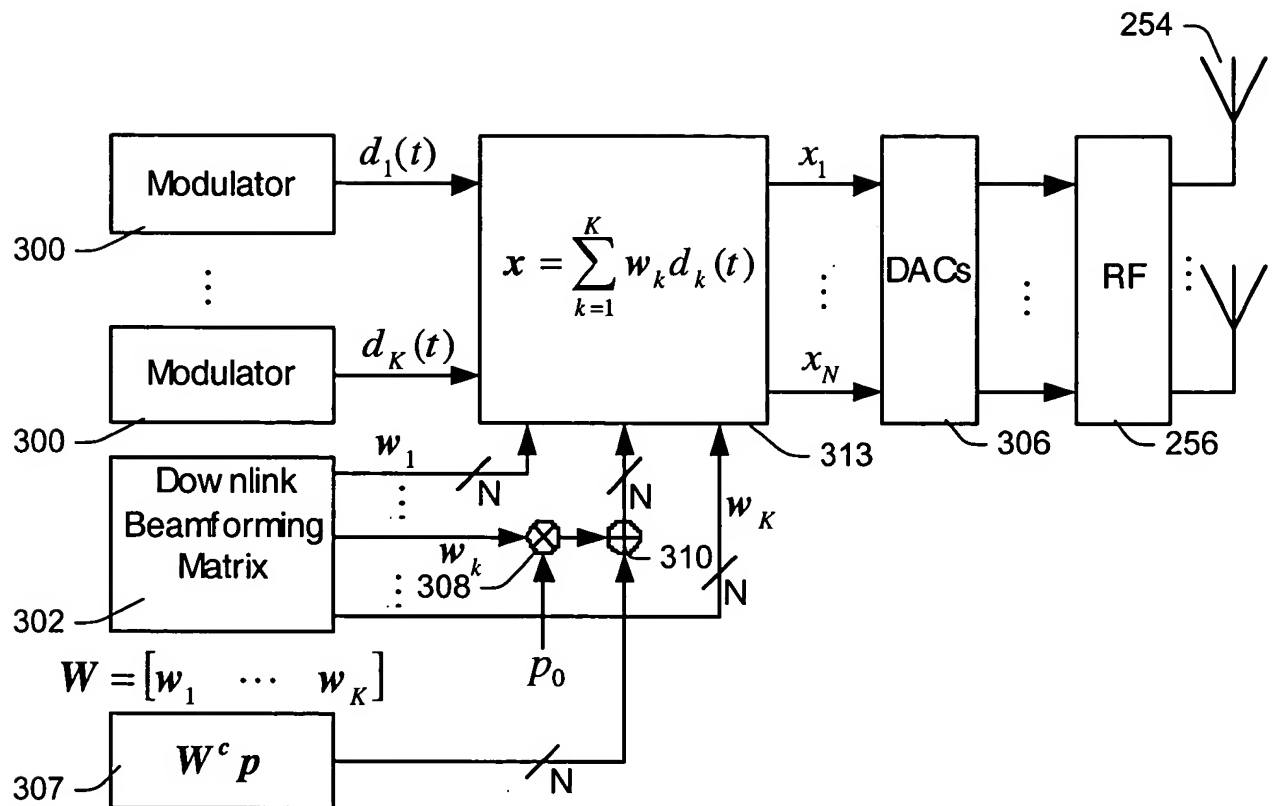


Fig. 36

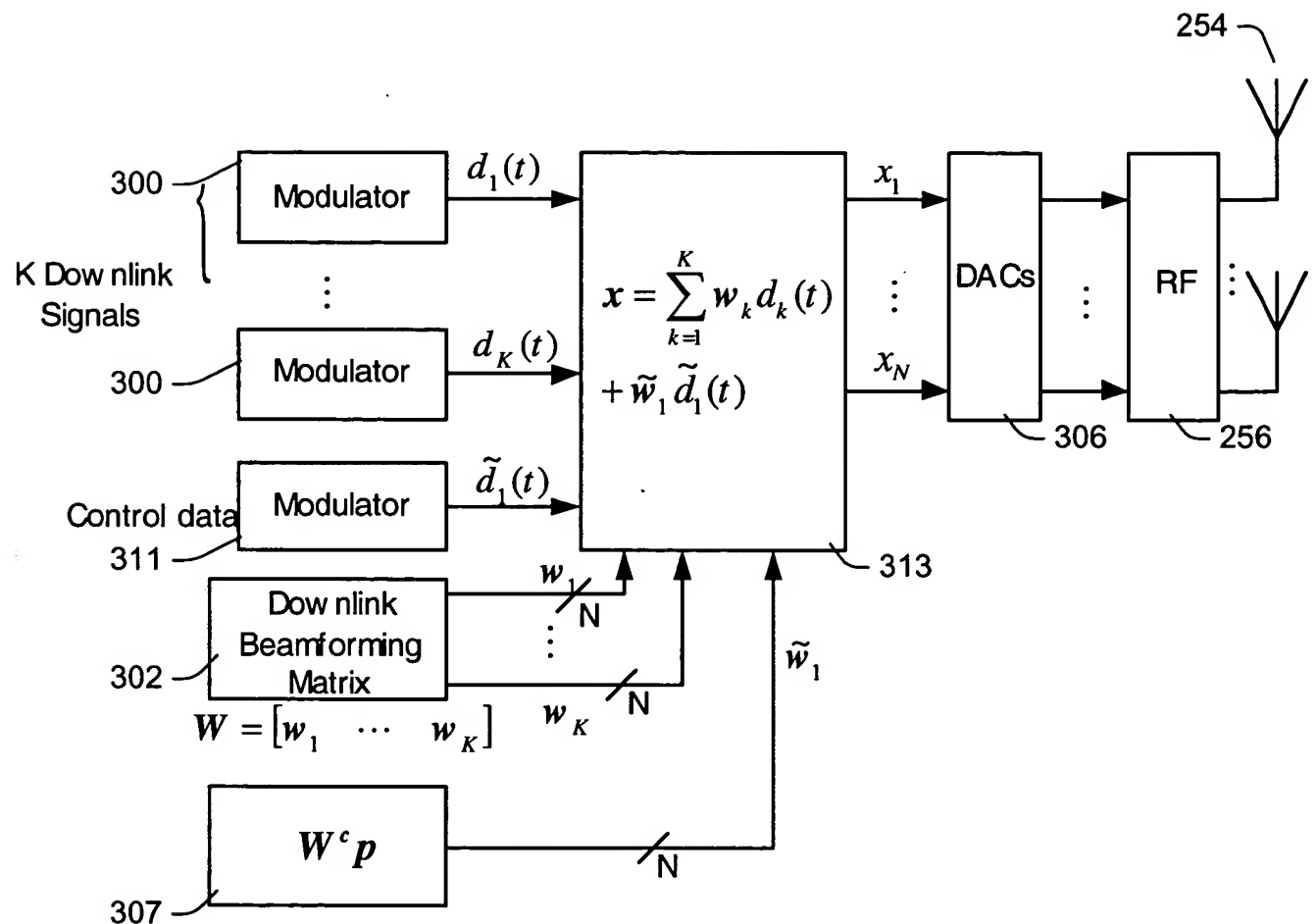


Fig. 37